

Dernière mise à jour des informations: Mars 2025

Configuration du produit: PH23.G1

PH23.G1: Module pour rail Superrail 48V - BLE Casambi - UGR<19 - L=1824 - Ligne continue - 13.4W 1819lm - 3500K - CRI 90 - Noir/Noir Transparent



Référence produit

PH23.G1: Module pour rail Superrail 48V - BLE Casambi - UGR<19 - L=1824 - Ligne continue - 13.4W 1819lm - 3500K - CRI 90 - Noir/Noir Transparent

Description technique

Produit pour éclairage linéaire avec LED monochrome 3500K CRI90 avec adaptateur pour installation sur rail Superrail 48 V. Module pour ligne continue sans embouts (à commander séparément). Corps éclairant UGR<19 à luminance contrôlée ($L \leq 3000 \text{cd/m}^2$) idéale pour les espaces équipés d'écrans d'ordinateurs Optique Space Opti-Diamond disponible en version avec cache Blanc (Blanc transparent) ou Noir (Noir transparent). Corps principal en aluminium extrudé version Frameless. Système rapide de branchement électrique et mécanique de l'adaptateur sur le rail sans nécessité d'outils. L'adaptateur en matière thermoplastique comprend le circuit driver CC/CC avec protocole Bluetooth. La technologie Bluetooth Casambi intégrée permet de régler indépendamment chaque module lumineux placé sur la piste. Technologie Bluetooth Low Energy (Casambi). Fréquence 2.4 GHz BLE. L'appareil peut être contrôlé à l'aide de l'application Casambi, qui permet d'activer et de désactiver les fonctions On-Off, de gradation et rappel de scènes. L'application est disponible sur Apple Store et Google Play Store. Il peut être ajouté au réseau « Mesh » du système en permettant de gérer de multiples appareils. Mise à jour OTA (over the air) à travers Application. Balise intégrée et activable avec Smart Light Control (iBeacon) qui active les fonctions de notifications push, navigation intérieure-signalisation.

Installation

Fixation mécanique avec adaptateur sur rail 48V sans utiliser d'outils. Distance max (*) appareil-appareil 8 m ; distance max (*) smartphone-appareil 20 m. Fermer la ligne continue avec la paire d'embouts à commander séparément.

Coloris

Noir/Noir Transparent (G1)

Poids (Kg)

1.03

Montage

Low voltage track

Câblage

Branchement direct sur le rail 48V. Unité d'alimentation du rail à commander séparément. Appareil commandé par technologie Bluetooth (Casambi).

Remarque

(*) La distance max. pour installations Bluetooth est influencée par la présence d'obstacles physiques de type murs, panneaux métalliques et par la disposition de l'installation. Il est conseillé d'effectuer un test sur le lieu d'installation. Disponibilité d'accessoires techniques et anti-éblouissement ; possibilité d'installation combinée de deux accessoires internes.

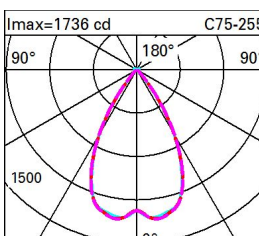
Conforme à la norme EN60598-1 et à la réglementation en vigueur (ou à la réglementation relative)



Données techniques

| | | | |
|--------------------------------------------------|------|--------------------------------------|---------------------------------|
| Im du système: | 1648 | Durée de vie LED 1: | > 50,000h - L90 - B10 (Ta 25°C) |
| W du système: | 13.4 | Voltage [V]: | 48 |
| Im source: | 2140 | Code Lampe: | LED |
| W source: | 12 | Nombre de lampes par groupe optique: | 1 |
| Efficacité lumineuse (lm/W, valeurs du système): | 123 | Code ZVEI: | LED |
| Im en mode secours: | - | Nombre de groupes optiques: | 1 |
| Flux total émis à un angle de 90° ou plus [Lm]: | 31 | LED Courant [mA]: | 36 |
| Light Output Ratio (L.O.R.) [%]: | 77 | Facteur de puissance: | Voir Notice de montage |
| IRC (minimum): | 90 | % minimum de gradation: | 1 |
| Température de couleur [K]: | 3500 | Control: | Casambi |
| MacAdam Step: | 3 | | |

Polaire

|  <p>Diagram showing beam spread and angles. The diagram is a circular light distribution plot with concentric circles representing beam diameters at different distances. The central beam is labeled '180°'. The outer edge of the beam is labeled '90°'. The distance from the center to the outer edge is labeled '1500'. The angle of the beam is labeled '60°'.</p> | | C75-255 nL 0.77 94-99-99-98-77 UGR 13.3-12.7 DIN A.61 UTE 0.76A+0.01T F*1=940 F*1+F*2=985 F*1+F*2+F*3=994 CIBSE LG3 L<3000 cd/m² at 65° UGR<16 L<3000 cd/mq @65° | | Lux <table><tr><th>h</th><th>d1</th><th>d2</th><th>Em</th><th>Emax</th></tr><tr><td>2</td><td>2.3</td><td>2.3</td><td>333</td><td>423</td></tr><tr><td>4</td><td>4.6</td><td>4.6</td><td>83</td><td>106</td></tr><tr><td>6</td><td>6.9</td><td>6.9</td><td>37</td><td>47</td></tr><tr><td>8</td><td>9.2</td><td>9.2</td><td>21</td><td>26</td></tr></table> | | | | | h | d1 | d2 | Em | Emax | 2 | 2.3 | 2.3 | 333 | 423 | 4 | 4.6 | 4.6 | 83 | 106 | 6 | 6.9 | 6.9 | 37 | 47 | 8 | 9.2 | 9.2 | 21 | 26 |
|-------------------------------------------------------------------------------------------------------------------------------------------------------------------------------------------------------------------------------------------------------------------------------------------------------------------------------------------------------------------------------------------------------------------------------------------------------------|-----|---------------------------------------------------------------------------------------------------------------------------------------------------------------------------------------------------------------------------------------|-----|--------------------------------------------------------------------------------------------------------------------------------------------------------------------------------------------------------------------------------------------------------------------------------------------------------------------------------------------------------------------|--|--|--|--|---|----|----|----|------|---|-----|-----|-----|-----|---|-----|-----|----|-----|---|-----|-----|----|----|---|-----|-----|----|----|
| h | d1 | d2 | Em | Emax | | | | | | | | | | | | | | | | | | | | | | | | | | | | | |
| 2 | 2.3 | 2.3 | 333 | 423 | | | | | | | | | | | | | | | | | | | | | | | | | | | | | |
| 4 | 4.6 | 4.6 | 83 | 106 | | | | | | | | | | | | | | | | | | | | | | | | | | | | | |
| 6 | 6.9 | 6.9 | 37 | 47 | | | | | | | | | | | | | | | | | | | | | | | | | | | | | |
| 8 | 9.2 | 9.2 | 21 | 26 | | | | | | | | | | | | | | | | | | | | | | | | | | | | | |

Coefficients d'utilisation

| R | 77 | 75 | 73 | 71 | 55 | 53 | 33 | 00 | DRR |
|------|----|----|----|----|----|----|----|----|-----|
| K0.8 | 67 | 63 | 60 | 58 | 62 | 59 | 59 | 56 | 74 |
| 1.0 | 70 | 66 | 64 | 62 | 65 | 63 | 63 | 60 | 79 |
| 1.5 | 74 | 71 | 69 | 67 | 70 | 68 | 67 | 65 | 86 |
| 2.0 | 77 | 75 | 73 | 72 | 73 | 72 | 71 | 68 | 90 |
| 2.5 | 78 | 77 | 75 | 74 | 75 | 74 | 73 | 71 | 93 |
| 3.0 | 80 | 78 | 77 | 76 | 77 | 76 | 75 | 72 | 96 |
| 4.0 | 81 | 80 | 79 | 78 | 78 | 77 | 76 | 74 | 97 |
| 5.0 | 81 | 80 | 80 | 79 | 79 | 78 | 77 | 74 | 99 |

Courbe limite de luminance

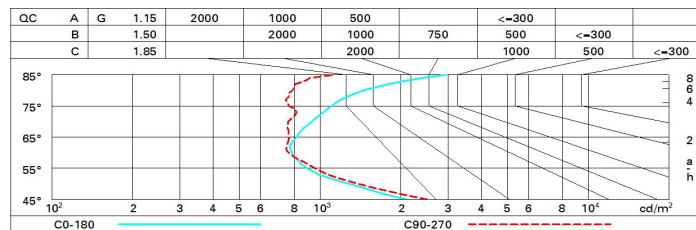


Diagramme UGR

| Corrected UGR values (at 2140 lm bare lamp luminous flux) | | | | | | | | | | | |
|------------------------------------------------------------------|------|---------------------|------|------|------|------|-------------------|------|------|------|------|
| Reflect.: ceiling/cav walls work pl. Room dim x y | | 0.70 | 0.70 | 0.50 | 0.50 | 0.30 | 0.70 | 0.70 | 0.50 | 0.50 | 0.30 |
| | | 0.50 | 0.30 | 0.50 | 0.30 | 0.30 | 0.50 | 0.30 | 0.50 | 0.30 | 0.30 |
| | | 0.20 | 0.20 | 0.20 | 0.20 | 0.20 | 0.20 | 0.20 | 0.20 | 0.20 | 0.20 |
| | | viewed crosswise | | | | | viewed endwise | | | | |
| 2H | 2H | 13.1 | 13.7 | 13.4 | 13.9 | 14.2 | 13.0 | 13.6 | 13.3 | 13.9 | 14.1 |
| | 3H | 13.0 | 13.6 | 13.4 | 13.9 | 14.2 | 12.9 | 13.4 | 13.2 | 13.7 | 14.0 |
| | 4H | 13.0 | 13.5 | 13.4 | 13.9 | 14.2 | 12.8 | 13.3 | 13.2 | 13.6 | 14.0 |
| | 6H | 13.1 | 13.6 | 13.5 | 13.9 | 14.3 | 12.7 | 13.2 | 13.1 | 13.5 | 13.9 |
| | 8H | 13.2 | 13.7 | 13.6 | 14.0 | 14.4 | 12.7 | 13.2 | 13.1 | 13.5 | 13.9 |
| | 12H | 13.4 | 13.8 | 13.8 | 14.2 | 14.6 | 12.7 | 13.1 | 13.1 | 13.5 | 13.9 |
| 4H | 2H | 12.9 | 13.4 | 13.2 | 13.7 | 14.0 | 12.9 | 13.4 | 13.3 | 13.8 | 14.1 |
| | 3H | 12.9 | 13.3 | 13.3 | 13.7 | 14.0 | 12.8 | 13.3 | 13.2 | 13.6 | 14.0 |
| | 4H | 12.9 | 13.3 | 13.3 | 13.7 | 14.1 | 12.8 | 13.1 | 13.2 | 13.5 | 14.0 |
| | 6H | 13.1 | 13.4 | 13.6 | 13.9 | 14.3 | 12.7 | 13.1 | 13.2 | 13.5 | 13.9 |
| | 8H | 13.3 | 13.6 | 13.7 | 14.0 | 14.5 | 12.7 | 13.0 | 13.2 | 13.5 | 13.9 |
| | 12H | 13.6 | 13.8 | 14.0 | 14.3 | 14.8 | 12.7 | 13.0 | 13.2 | 13.4 | 13.9 |
| 8H | 4H | 12.8 | 13.1 | 13.3 | 13.6 | 14.1 | 12.8 | 13.1 | 13.3 | 13.6 | 14.0 |
| | 6H | 13.1 | 13.4 | 13.6 | 13.8 | 14.4 | 12.8 | 13.1 | 13.3 | 13.5 | 14.1 |
| | 8H | 13.4 | 13.6 | 13.9 | 14.1 | 14.6 | 12.8 | 13.0 | 13.4 | 13.5 | 14.1 |
| | 12H | 13.9 | 14.0 | 14.4 | 14.6 | 15.1 | 12.9 | 13.1 | 13.4 | 13.6 | 14.1 |
| 12H | 4H | 12.8 | 13.1 | 13.3 | 13.5 | 14.0 | 12.8 | 13.1 | 13.3 | 13.6 | 14.1 |
| | 6H | 13.1 | 13.3 | 13.6 | 13.8 | 14.4 | 12.9 | 13.1 | 13.4 | 13.6 | 14.1 |
| | 8H | 13.4 | 13.6 | 14.0 | 14.1 | 14.7 | 12.9 | 13.1 | 13.5 | 13.6 | 14.2 |
| Variations with the observer position at spacing: | | | | | | | | | | | |
| S = | 1.0H | 3.4 / -3.0 | | | | | 4.0 / -4.7 | | | | |
| | 1.5H | 5.8 / -3.2 | | | | | 6.6 / -5.0 | | | | |
| | 2.0H | 7.7 / -3.4 | | | | | 8.6 / -5.1 | | | | |